

مقایسه مرزبندی تصاویر درماتوسکوپی از ضایعه ملانوما با فیلتر پلاریزه و بدون آن به کمک شبیه سازی

خلاصه

زمینه و هدف: ملانوما یکی از شایع ترین انواع سرطان پوست می‌باشد که تشخیص آن در پاره‌ای از موقع برای پزشکان مشکل است. برای مشاهده و تشخیص نوع سرطان پوست از روش غیر تهاجمی درماتوسکوپی استفاده می‌گردد. از آنجا که روش مذکور متناسب با استنتاج چشمی می‌باشد، تشخیص ملانوما بخصوص در مراحل ابتدایی بیماری برای متخصصین پوست مشکل است. مرزبندی دقیق بین ضایعه و زمینه، تشخیص ملانوما را برای پزشکان آسان می‌نماید. از این رو در این مقاله به دنبال روشی هستیم که به مرزبندی دقیق بین ضایعه و زمینه بپردازد.

روش بررسی: در این مقاله اهمیت استفاده از فیلتر پلاریزه بهمنظور مرزبندی دقیق تر بین ضایعه و زمینه با استفاده از شبیه‌سازی نشان داده است. بدین منظور فیلتر پلاریزه شبیه‌سازی شده با زوایای مختلف بر روی تصویر اعمال می‌گردد تا بهترین تصویر حاصل شود. این تکنیک، شیوه‌ای جدید برای پیش پردازش تصاویر ضایعات ملانوسیتی و بالا بردن کنتراست ضایعه با زمینه از طریق حذف نویزهای مخرب و سایه را فراهم می‌سازد. سپس الگوریتم مرزبندی بر روی بهترین تصویر اعمال می‌شود تا دقیق ترین مرزبندی بین ضایعه و زمینه ایجاد گردد. پس از مرزبندی در اختیار پزشک قرار می‌گیرد تا تشخیص ملانوما برای پزشک آسان تر گردد.

یافته‌ها: با استفاده از فیلتر پلاریزه پیش از مرزبندی تصویر، نویز تا حد ممکن کاهش می‌یابد. یکی از این عوامل نویزی در تصویر، مو است. مو به عنوان عامل مازام و نویزی، تکنیک‌های مرزبندی را با مشکل مواجه می‌سازد، که با کمک فیلتر پلاریزه اثر این عامل تا حد ممکن کم می‌گردد. مرزبندی مناطقی از زمینه و عدم مرزبندی مناطقی از ضایعه از مشکلات تکنیک‌های معمول مرزبندی است که با تکنیک مورد استفاده در این مقاله به بهبود این مورد نیز پرداخته شده است.

نتیجه‌گیری: با کمک فیلتر پلاریزه که پیش پردازشی قوی است به مرزبندی دقیق تری از ضایعه پرداخته شد. مرز بین ضایعه و زمینه یکی از مهمترین موارد در تشخیص ملانوما توسط متخصصان پوست است. از این رو مرزبندی دقیق بین ضایعه ملانوما و زمینه، تشخیص این بیماری را برای متخصص آسان تر می‌نماید. در این تحقیق مرزبندی دقیق تری از ضایعات پوستی انجام گردید. با توجه بنظر متخصصان پوست، نتایج بدست آمده در این تحقیق تشخیص ملانوما را نسبت به گذشته آسان تر می‌نماید.

واژه‌های کلیدی: ضایعات ملانوسیتی، فیلتر پلاریزه، مرزبندی تصویر، ملانوما

محمد حسین میران بیگی^۱

منصور فاتح^۲

پژمان قاسمی^۳

دکتر پروین منصوری^۴

^۱اعضو هیأت علمی دانشگاه تربیت مدرس، دانشکده فنی
مهندسی

^۲دانشجوی مقطع کارشناسی ارشد، دانشگاه تربیت مدرس،

دانشکده فنی مهندسی

^۳دانشجوی مقطع دکترا، دانشگاه تربیت مدرس، دانشکده

فنی مهندسی

^۴هیات علمی دانشگاه علوم پزشکی تهران، رئیس بخش

پوست بیمارستان امام خمینی

نویسنده مسئول: محمدحسین میران بیگی، گروه مهندسی پزشکی،

بخش برق، دانشکده فنی، دانشگاه تربیت مدرس، تهران، ایران

تلفن: +۹۸(۰۲۱)۸۲۸۸۳۷۰

پست الکترونیکی: miranbmh@modares.ac.ir

مقدمه

اولین بار شخصی به نام گلدمی دستگاه درماتوسکوپ را ابداع کرد و توسط آن به ارزیابی تغییرات رنگدانه‌های پوستی در شرایط بیماری پرداخت [۱]. در ادامه متخصصان پوست از این دستگاه بعنوان ابزاری مناسب و غیر تهاجمی جهت مشاهده ضایعات پوستی استفاده نمودند. با توسعه و پیشرفت علم در سال‌های اخیر، دستگاه درماتوسکوپ دیجیتال با قابلیت اخذ و ذخیره تصاویر پوستی، جایگزین درماتوسکوپ‌های معمولی شده است [۲ و ۳]. بنابراین امکان ارائه بسته‌های نرم‌افزاری تجاری برای کمک به تشخیص برخی ضایعات پوستی، ایجاد بانک‌های اطلاعاتی، ساخت رزومه درمانی برای هر یک از بیماران فراهم شده است.

مطالعات نشان می‌دهد که تأثیرگذارترین گام در پردازش تصاویر درماتوسکوپی از ضایعات ملانوسیتی، مرزبندی ضایعه است [۴]. در واقع میزان گستردگی ضایعه، شکل مرز، میزان تراپیس موجود در حد فاصل ضایعه با زمینه بعنوان پارامترهای کلیدی در تشخیص سرطان

مانوما به عنوان یکی از سرطان‌های پوست مسئول ۵۰٪ از مرگ و میرهای مرتبط با سرطان‌های پوست می‌باشد [۱]. منشأ این بیماری در لایه‌های اپiderم و درم پوست می‌باشد. این بیماری از تجمع دانه‌های ملانین و سرایت آن به خارجی ترین لایه پوست شکل می‌گیرد. از آنجا که تعیین میزان گسترش ضایعه و به نوعی استخراج مرز دقیق بین ضایعه و زمینه یکی از پارامترهای بسیار تأثیرگذار در روش‌های کلینیکی تشخیص سرطانی بودن ضایعه می‌باشد، لذا ارائه روش‌های پیش پردازش جدید که امکان مرزبندی دقیق تر ضایعه را فراهم می‌آورد از درجه اهمیت بسیاری برخوردار است. در این تحقیق استفاده از فیلتر پلاریزه بعنوان روشنی جدید در افزایش کنتراست ضایعه با زمینه از طریق حذف نویزهای مخرب و سایه معرفی می‌گردد و در ادامه نتایج بدست آمده از کاربرد تکنیک پیشنهادی در این تحقیق با روش‌های متدال م مقایسه خواهد شد.

برخی از ضایعات پوستی درصد زیادی از ضایعه از رنگ‌های گرم تشکیل شده‌اند لذا این اثر نور پلاریزه در بهبود رنگ تصویر در این نوع از ضایعات مؤثر است. از طرف دیگر حذف بازتابش‌های اضافی ناشی از وجود مواد روغنی بر روی ضایعه و نیز حذف نویز نور محیطی و سایه توسط فیلتر پلاریزه منجر به ارتقاء سطح کیفی تصویر و کاهش نویز می‌گردد [۶ و ۱۰].

هنگامی که نور پلاریزه به سطح پوست تابیده می‌شود نور بازتاب شده از لایه‌های بالایی پوست حالت پلاریزاسیون خود را تا حد زیادی حفظ می‌نمایند ولی هرچه عمق نفوذ نور بیشتر می‌گردد بدليل پدیده تفرق از میزان درجه پلاریزاسیون کاسته می‌شود. در یک تحقیق جمعی نشان داده شده است که جهت حذف پرتوهای ناشی از بازتابش سطحی (پرتوهای فاقد اطلاعات ارزشمند) می‌توان از یک فیلتر پلاریزه با حالت پلاریزاسیون ۹۰ درجه نسبت به نور تابشی استفاده نمود. در این صورت به ثبت پرتوی بازگشتی از لایه‌های عمیق (بین اپیدرم و درم) که مکان شکل‌گیری اولیه سرطان پوست است، پرداخته می‌گردد [۷]. همچنین نشان داده شده است که اگر از فیلتر پلاریزه با حالت پلاریزاسیون صفر درجه نسبت به نور تابشی استفاده گردد پرتوهای بازگشتی از لایه‌های سطحی تر پوست ثبت می‌گردد که این موضوع نشان‌گر حداکثر تغییر در تصویر ثبت شده به ازای فیلتر پلاریزه با حالت پلاریزاسیون ۹۰ درجه نسبت به نور تابشی است. در تحقیق انجام شده قبلی که مبتنی بر یک روش سخت‌افزاری است منبع نور نیز پلاریزه است و فیلتر پلاریزه بر روی پرتوهای واقعی اعمال می‌گردد از آنجا که در تحقیق این مقاله منبع نور غیرپلاریزه می‌باشد و فیلتر پلاریزه بصورت شبیه‌سازی شده بر روی تصویر اعمال می‌گردد، لزومی ندارد فیلتر پلاریزه ۹۰ درجه استفاده شود. کاربر می‌تواند نوع زاویه پلاریزه را به دلخواه و در جهت بدست آوردن بهترین نتیجه انتخاب نماید.

روش تصویربرداری درماتوسکوپی دیجیتال متداول ترین شیوه تصویربرداری در تشخیص ملانوما است. در این روش نور هالوژن به پوست تابانده می‌شود و سپس تصویر شفافی از آن ارائه می‌گردد. در درماتوسکوپ‌های دیجیتال تصویر توسط یک یا چند دوربین CCD ثبت می‌گردد و یا توسط اسکنرهایی از ضایعه اسلايد تهیه می‌گردد. روش‌های جدید تصویربرداری، خطاهای کلینیکی متداول را تا ۵٪ کاهش داده است [۱۱ و ۱۲]. نمونه ای از تصویر یک ضایعه ملانوسیتی در شکل شماره ۱ آمده است.

شبیه سازی فیلتر پلاریزه

پس از تحلیل درماتوسکوپ‌های مجهز به منبع نور پلاریزه و نیز فیلتر پلاریزه و آشنایی با تأثیر اینگونه سیستم‌ها بر تصاویر اخذ شده، می‌توان الگوریتم شبیه‌سازی فیلتر پلاریزه را به صورت یک روش نرم‌افزاری ارائه نمود. در روشنی که در این تحقیق برای شبیه‌سازی فیلتر پلاریزه استفاده نمودیم با تحت تأثیر قرار دادن رنگ‌های تصویر

بشمار می‌روند [۵]. از آنجا که تشخیص چشمی مرز دقیق ضایعات بویژه در مراحل ابتدایی بروز بیماری بسیار سخت و در برخی از موارد غیرممکن است و از طرفی آغاز به موقع پروسه درمان تأثیر مستقیم در کاهش مرگ و میر ناشی از سرطان پوست دارد، لذا تکنیک‌های پردازشی که به بهبود مربنی تصاویر درماتوسکوپی می‌کنند، همواره از موضوعات مورد توجه در تحقیقات اخیر می‌باشند.

مسئله پیش رو در این تحقیق ارائه روشنی جدید به منظور افزایش کارایی الگوریتم‌های مربنی تصاویر درماتوسکوپی از نور معمولی غیر پلاریزه استفاده می‌گردد. از آنجا که طبق «روابط فرزنل» انعکاس نور از سطح ماده و لایه‌های زیرین آن و طبق «قانون می و ریلی» باز پراکندگی از سطوح ناهموار و زیر متأثر و تابعی از حالت پلاریزاسیون نور می‌باشد. بنابراین می‌توان با استفاده از فیلتر مناسب به حذف برخی از نورهای منعکس و یا بازپراکنده شده مزاحم و مخرب پرداخت [۶]. در این تحقیق با استفاده از شبیه‌سازی، نتایج حاصل از بکارگیری فیلتر پلاریزه با زوایای پلاریزاسیون متفاوت و اثر آن در افزایش کنترast، کاهش نویزهای مخرب و حذف سایه آورده شده است.

به جهت برخی محدودیت‌ها در شبیه‌سازی، ارائه الگوریتم جامع برای شبیه‌سازی تمام خواص یک فیلتر پلاریزه واقعی که می‌تواند بر روی درماتوسکوپ تعیینه گردد امکان‌پذیر نیست [۷]. در روش پیشنهادی سعی شده است با شبیه‌سازی یک فیلتر پلاریزه نمونه، به حذف بازتابش نور از سطح ضایعه (ناشی از وجود مواد روغنی)، کاهش تأثیر نویز نور محیطی، حذف اثر مخرب ناشی از وجود مو در تصویر و همچنین کاهش سایه پرداخته شود.

باید توجه داشت که کلیه تصاویر موجود در این مقاله از پایگاه‌های اینترنتی و مورد اعتماد متخصصین پوست می‌باشد. تومووال و یا غیرتومووال بودن ضایعات در این تصاویر توسط بیوپسی تأیید شده است [۸ و ۹]. در این تحقیق از تصاویری استفاده شده است که متخصصین پوست جهت تشخیص تومووال یا غیرتومووال بودن آن دچار شک و تردید می‌شوند و رأی به بیوپسی می‌دهند. از آنجا که هدف از این مقاله ارایه یک روش مناسب و غیرتهاجمی جهت پرهیز از روش تهاجمی بیوپسی است، نشان داده‌ایم که با استفاده از فیلتر پلاریزه می‌توان پرشک را در تشخیص اولیه نوع ضایعه باری نمود.

روش بررسی

بررسی اثر فیزیکی فیلترهای پلاریزه در تصویربرداری درماتوسکوپی به منظور شبیه‌سازی و ارائه الگوریتمی با عملکرد مشابه، امری لازم و اجتناب‌ناپذیر است. تابش نور پلاریزه بر روی ضایعات پوستی منجر به تغییر در رنگ می‌گردد بدین صورت که رنگ‌های گرم (طیف قرمز، نارنجی و زرد) آشکارتر و رنگ‌های سرد (طیف آبی، بنفش و رنگ‌های نزدیک آن) تاریک‌تر خواهند گردید [۴]. از آنجا که در

در طراحی فیلتر پلاریزه باید اثر تغییر زاویه پلاریزاسیون توسط یک پارامتر حساس به زاویه شبیه‌سازی گردد. همانطور که اشاره گردید این پارامتر به ازای زاویه 90° درجه از حداقل تغییر در تصویر برخوردار است. برای ساده سازی درخشندگی مربوط به رنگ قرمز با h' جایگزین می‌شود [۱۴ و ۳]:

$$h' = I_{xy,r} \quad (2)$$

پس از اعمال فیلتر درخشندگی هر پیکسل به میزان خاصی تغییر می‌یابد اگر این پارامتر با Δ نشان داده شود درخشندگی‌ها پس از اعمال فیلتر به صورت زیر بیان می‌گردد [۴ و ۳]:

$$\begin{aligned} P, r &= I_{xy,r} + \Delta \\ P, g &= I_{xy,g} + \Delta \\ P, b &= I_{xy,b} + \Delta \end{aligned} \quad (3)$$

P, r درخشندگی جدید رنگ قرمز، P, g درخشندگی جدید رنگ سبز و P, b درخشندگی جدید رنگ آبی می‌باشد. در این تحقیق و بر اساس نتایج قبلی Δ به گونه‌ای انتخاب گردید که به ازای زاویه پلاریزاسیون صفر درجه تغییرات اندک (نزدیک به صفر) و به ازای زاویه پلاریزاسیون 90° درجه بیشترین تغییرات را داشته باشد. برای برآورده نمودن این مطلب باید پارامتری در Δ باشد که به زاویه وابسته باشد و با توجه به زاویه صفر درجه، Δ را صفر نماید و با توجه به زاویه 90° درجه، Δ را در بالاترین مقدار خود قرار



شکل ۲- الگوریتم شبیه ساز فیلتر پلاریزه



شکل ۱- تصویر ضایعه ملانوسیتی

دیجیتال سعی گردید که نتیجه تا حد مطلوب همان نتیجه‌های باشد که با اعمال فیلتر پلاریزه واقعی در تصویربرداری ایجاد می‌گردد. تصویر دیجیتال تعدادی از پیکسل‌ها است که هر یک از پیکسل‌ها درجه رنگ و شدت روشنایی خاصی دارد. الگوریتم‌هایی که برای تنظیم به کار می‌روند شامل تنظیم کنتراست، تنظیم اشباع و تنظیم شدت می‌باشند. با اعمال این روش به حذف برخی از بازتاب‌های اضافی، حذف نور نامطلوب محیط، ساخت رنگ‌ها و تنظیم کنتراست، پرداخته می‌شود.

در این روش ابتدا ماتریس ورودی از روی تصویر ورودی بدست می‌آید و سپس این ماتریس در اولین حافظه ذخیره می‌گردد. پس از آن بر روی ماتریسی که در اولین حافظه ذخیره گردیده است فیلتر پلاریزه اعمال می‌گردد و در نتیجه ماتریس خروجی در دومین حافظه قرار می‌گیرد. سپس در گام دوم به منظور تنظیم کنتراست بین رنگ‌های سیاه و سفید، افزایش محدوده دینامیکی و تنظیم شدت درخشندگی تصویر، پردازش مناسبی صورت می‌گیرد و بعد از آن نتیجه به صورت تصویر خروجی نشان داده می‌شود. الگوریتم شبیه‌ساز فیلتر پلاریزه در شکل شماره ۲ نشان داده شده است.

تنظیم کنتراست بین رنگ‌های گرم و سرد در این روش از مدل رنگ RGB استفاده شده است بنابراین درخشندگی میانگین یا مؤلفه شدت (h) به صورت زیر محاسبه می‌گردد [۳، ۴ و ۱۴]:

$$h = (I_{xy,r} + I_{xy,g} + I_{xy,b}) / 3 \quad (1)$$

$I_{xy,r}$ درخشندگی مربوط به رنگ قرمز، $I_{xy,g}$ درخشندگی مربوط به رنگ سبز و $I_{xy,b}$ درخشندگی مربوط به رنگ آبی می‌باشد. همانطور که بیان گردید فیلتر پلاریزه به گونه‌ای عمل می‌کند که کنتراست بین رنگ‌های گرم (رنگ قرمز و رنگ‌های نزدیک آن) و رنگ‌های سرد (رنگ آبی و رنگ‌های نزدیک آن) افزایش می‌باید یعنی درخشندگی پایین‌تر برای رنگ‌های سرد و درخشندگی بالاتر برای رنگ‌های گرم بوجود می‌آید.

ابتدا به ساده سازی λ و سپس به ساده سازی Δ پرداخته می‌شود.

$$\lambda = I_{xy,r} - 1/3 * (I_{xy,r} + I_{xy,g} + I_{xy,b}) \quad (9)$$

$$\lambda = h' - h \quad (10)$$

$$\Delta = \alpha * \lambda$$

$$\Delta = 1/90 * ((90 - |\theta - 90|) * h' + |\theta - 90| * h) - h$$

برای آنکه رابطه به شکل ساده تری در آید:

$$h'' = 1/90 * ((90 - |\theta - 90|) * h' + |\theta - 90| * h)$$

گرفته می‌شود پس:

$$\Delta = h'' - h \quad (11)$$

رابطه ۱۱ در رابطه ۳ جایگذاری می‌شود:

$$P, r = I_{xy,r} + h'' - h$$

$$P, g = I_{xy,g} + h'' - h \quad (12)$$

$$P, b = I_{xy,b} + h'' - h$$

تنظیم کنتراست بین رنگ‌های سیاه و سفید داده‌های رابطه ۱۲ در ۳ ماتریس ذخیره می‌شود و سپس تکنیک‌های پردازش تصویر برای ارتقای تصویر استفاده می‌گردد. اولین گام در مرحله ارتقای تصویر تنظیم کنتراست تصویر است برای این منظور رنگ‌های سیاه و نزدیک سیاه، سیاه‌تر و رنگ‌های سفید و نزدیک سفید، سفیدتر می‌گردد. برای آنکه هم تمایز تصویر بیشتر گردد و هم ترتیب سطوح خاکستری دست نخورده باقی بماند از روش کشش تمایز استفاده می‌گردد در این روش که در شکل شماره ۳ نشان داده شده است با استفاده از ۱ یا چند نقطه (تابع تبدیل با ۱ نقطه کنترل نشان داده است) شکل تابع تبدیل کنترل می‌شود. تبدیل یک تابع خطی است که هیچ تغییری در سطوح خاکستری ایجاد نمی‌کند.

در اشکال شماره ۳ و ۴، نشانه سطح خاکستری و $S=T(r)$ تابع تبدیل می‌باشند.

در روش کشش تمایز با حفظ ترتیب سطوح خاکستری از ایجاد نواقص در شدت تصویر ممانعت می‌شود به دلیل آنکه در این روش تنها با مقدار شدت کار می‌شود، روال این است که هر یک از صفحه تصویرها به طور مستقل تحت این تابع تبدیل قرار گیرند.

دهد پس این پارامتر ضریبی از Δ می‌باشد و اگر این ضریب از صفر تا ۱ تغییر نماید می‌تواند Δ را از صفر تا ماکریم تغییر دهد. از آنجا که بازه زوایا از صفر تا ۱۸۰ درجه می‌باشد و خصلت فیلتر پلاریزه برای بازه زوایا صفر تا ۹۰ درجه همانند بازه زوایای ۱۸۰ تا ۹۰ درجه می‌باشد از پارامتر زیر استفاده می‌گردد [۴ و ۳]:

$$\alpha = 1/90 * (90 - |\theta - 90|) \quad (4)$$

θ زاویه پلاریزاسیون می‌باشد.

باید توجه داشت که اگر زاویه از صفر تا ۹۰ درجه می‌بود پارامتر $\alpha = 1/90 * \theta$ جوابگوی نیاز مسئله بود و نظر به اینکه θ درجه مؤثر دارد از اسکیل بندی ۹۰ تایی استفاده شده است. همانطور که گفته شد در فیلتر پلاریزه کنتراست بین رنگ‌های گرم و رنگ‌های سرد افزایش می‌باید یعنی پارامتر دیگری نیز در Δ تأثیرگذار است که درخشندگی رنگ گرم را افزایش و درخشندگی رنگ سرد را کاهش می‌دهد [۳ و ۱۴]:

$$\lambda_1 = I_{xy,r} - I_{xy,b} \quad (5)$$

رنگ‌های گرم در مقابل دیگر رنگ‌ها از جمله رنگ سبز نیز افزایش می‌باید:

$$\lambda_2 = I_{xy,r} - I_{xy,g} \quad (6)$$

حاصل افزایش کنتراست با جمع دو عبارت ۵ و ۶ بدست می‌آید:

$$\lambda = \lambda_1 + \lambda_2 = 2I_{xy,r} - I_{xy,b} - I_{xy,g} \quad (7)$$

پارامتر λ عددی بین صفر تا ۲۵۵ است و از آنجا که سه رنگ وجود دارد از اسکیل بندی ۳ تایی استفاده می‌گردد تا پارامتر λ از ۲۵۵ افزون نگردد یعنی λ به صورت زیر تغییر می‌باید [۳]:

$$\lambda = 1/3 * (2 * I_{xy,r} - I_{xy,b} - I_{xy,g}) \quad (8)$$

همان گونه که بیان گردید دو پارامتر α و λ در میزان Δ تأثیرگذارند یعنی در واقع $\Delta = \alpha * \lambda$ است.

به ازای رنگ‌های گرم $I_{xy,r}$ بیشتر از $I_{xy,g}$ و $I_{xy,b}$ می‌باشد و در نتیجه $\Delta > 0$ است و درخشندگی بالاتری برای رنگ‌های گرم حاصل می‌گردد.

به ازای رنگ‌های سرد $I_{xy,b}$ بیشترین مقدار می‌باشد و در نتیجه $\Delta < 0$ است و درخشندگی پایین‌تری برای رنگ‌های سرد ایجاد می‌گردد.

می‌توان روابط را به گونه‌ای که در ادامه توضیح داده می‌شود ساده‌سازی نمود.

$$\begin{aligned} g(x, y) &= w * [f(x, y) - L] + L \\ L &= 1/3 * (I_{xy,r} + I_{xy,g} + I_{xy,b}) \end{aligned} \quad (15)$$

$1 < w < 1/4$

تابع دلخواه دو متغیره و (x, y) $f(x, y)$ تابع دو متغیره پس از اعمال تبدیل خطی می‌باشد.

اگر رابطه ۱۵ برای هر ۳ صفحه رنگ به طور جداگانه اعمال گردد افزایش محدوده دینامیکی در تصویر ایجاد می‌شود و شدت رنگ‌ها به صورت رابطه ۱۶ توصیف می‌گردد:

$$\begin{aligned} p'', r &= (p', r - L) * w + L \\ p'', g &= (p', g - L) * w + L \\ p'', b &= (p', b - L) * w + L \\ L &= 1/3 * (p', r + p', g + p', b) \\ 1 < w < 1.4 \end{aligned} \quad (16)$$

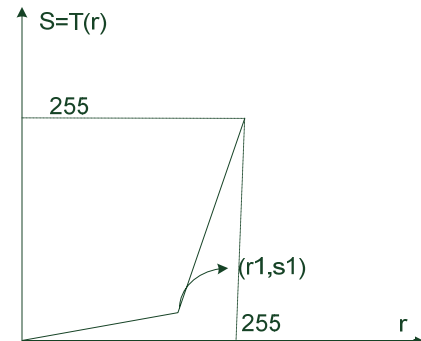
p'', r درخشندگی جدید رنگ قرمز، p'', g درخشندگی جدید رنگ سبز و p'', b درخشندگی جدید رنگ آبی می‌باشد. تنظیم شدت درخشندگی تصویر

در مرحله نهایی به تنظیم شدت پرداخته می‌شود. تنظیم شدت بر روی تغییرات تصویر انجام می‌گردد یعنی تفاوت شدت تصویر نهایی از تصویر اولیه محسوبه می‌گردد و سپس با ضربی این میزان تفاوت تغییر پیدا می‌کند. در نهایت این شدت به شدت تصویر اولیه اضافه می‌گردد. چون ۳ شدت رنگ وجود دارد این روش روی هر ۳ صفحه رنگ به طور جداگانه اعمال می‌گردد.

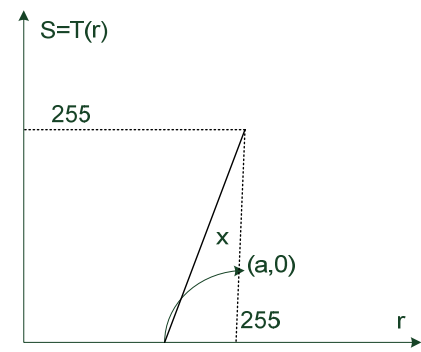
با اعمال ضربی بر روی شدت نهایی نیز می‌توان شدت تصویر را تغییر داد اما با اعمال ضربی روی تغییرات شدت، در زمانی که تصویر تغییری پیدا نمی‌کند میزان تغییرات صفر می‌باشد و ضربی روی مقدار صفر اعمال می‌گردد و در تصویر هیچ تغییری رخ نمی‌دهد. در صورتی که اگر این ضربی روی شدت نهایی اعمال گردد حتی در مواردی که در تصویر هیچ تغییری به وجود نمی‌آید می‌توان تصویر نهایی را تغییر داد که این موردی نامطلوب است. همچنین با اعمال ضربی روی تغییرات می‌توان بازه بزرگتری برای ضربی در نظر گرفت اما برای اعمال ضربی بر روی تصویر نهایی می‌توان بازه کوچکتری برای ضربی در نظر گرفت تا تصویر به اشباع نزود. در واقع با اعمال ضربی روی تغییرات تصویر قدرت مانور روی ضربی افزایش می‌یابد.

ضربی تنظیم شدت با i نشان داده می‌شود و میزان آن از صفر تا ۲۰۰٪ می‌باشد. با اعمال تنظیم شدت در مرحله نهایی شدت‌های خروجی به صورت رابطه ۱۷ ارائه می‌گردد:

$$\begin{aligned} I'_{xy,r} &= (p'', r - I_{xy,r}) * i + I_{xy,r} \\ I'_{xy,g} &= (p'', g - I_{xy,g}) * i + I_{xy,g} \\ I'_{xy,b} &= (p'', b - I_{xy,b}) * i + I_{xy,b} \end{aligned} \quad (17)$$



شکل ۳- تابع تبدیلی با نقطه کنترل $(r1, s1)$



شکل ۴- تابع تبدیل با نقطه کنترل $(a, 0)$ متناسب با فیلتر پلاریزه که X شبیه خط است.

تابع تبدیل متناسب با فیلتر پلاریزه نیز دارای یک نقطه کنترل می‌باشد و برای راحتی کار نقطه کنترل روی محور افقی قرار دارد که در شکل ۴ نشان داده شده است. این تابع تبدیل روی هر ۳ صفحه رنگ به طور جداگانه اعمال می‌گردد. در شکل ۴ با تعیین معادله خط رابطه بین ورودی و خروجی تعیین می‌گردد:

$$S - 0 = x(r - a) \quad (13)$$

$S = x * r - x * a$ در نظر گرفته می‌شود. x عددی بین ۱/۲ و y عددی بین ۵ تا ۱۵ انتخاب می‌گردد.

رابطه ۱۳ به هر ۳ صفحه رنگ اعمال می‌گردد:

$$p', r = (p, r * x) - y$$

$$p', g = (p, g * x) - y \quad (14)$$

$$p', b = (p, b * x) - y$$

p', r درخشندگی جدید رنگ قرمز، p', g درخشندگی جدید رنگ سبز و p', b درخشندگی جدید رنگ آبی می‌باشد.

افزایش محدوده دینامیکی با یک تبدیل خطی محدوده دینامیکی سطوح افزایش پیدا می‌کند:

پروسه می تواند چندین مرتبه انجام شود. از شدت روشنایی چهار گوشة تصویر برای تخمین میزان روشنایی زمینه استفاده می شود. ۴ پنجره 10×10 در چهار گوشة تصویر در نظر گرفته می شوند. مقدار شدت روشنایی این ۴ پنجره ثبت شده و سپس مقدار میانه آنها محاسبه می شود (به نوعی فیلتر گذاری میانه ای انجام می گیرد). استفاده از فیلتر میانه بدلیل حذف اثر نویز ضربه ای است. یکی از اصلی ترین عوامل ایجاد کننده نویز ضربه ای در تصاویر درماتوسکوپی، مو می باشد که بعنوان یک المان با شدت روشنایی بسیار کم در زمینه با شدت روشنایی بالا ظاهر می شود و وجود مو در هر یک از ۴ پنجره انتخابی می تواند روی نتیجه نهایی تأثیر مخرب داشته باشد. بنابراین برای تشکیل تصویر مرجع، به جای میانگین گیری روی مقدادر پنجره ها از میانه آنها استفاده می گردد. با تفاضل تصویر مرجع از تصویر اصلی، تصویری با ضایعه روشن تر و زمینه تیره تر بوجود می آید.

۲- در مرحله بعد به کاهش تغییرات و بازیابی لبه پرداخته می شود برای کاهش تغییرات از تابع گوسی که بصورت رابطه ۱۸ تعریف می شود استفاده می گردد [۱۴]:

$$G(x) = \frac{1}{\sqrt{2\pi}\sigma} e^{-x^2/2\sigma^2} \quad (18)$$

σ انحراف معیار و σ^2 واریانس می باشد.

از روی این تابع، تابع $F(x)$ بدست می آید که برای بازیابی لبه ها مناسب است [۱۴]:

$$\begin{aligned} F(x) &= \frac{1}{\sqrt{2\pi}\sigma} - G(x) \\ &= \frac{1}{\sqrt{2\pi}\sigma} (1 - e^{-x^2/2\sigma^2}) \end{aligned} \quad (19)$$

در نهایت برای کاستن از تنوع شدت روشنایی درون ضایعه با زمینه، یکنواخت سازی انجام می شود.

۳- در مرحله سوم به استخراج لبه پرداخته می شود در این مرحله از الگوریتم های مرسوم مانند الگوریتم های گرادیان استفاده می گردد. البته قبل از انجام این مرحله با روش آستانه گذاری تصویر شکل بازیابی می گردد. برای محاسبه مقدار آستانه، بدلیل آنکه جزئیات مربوط به بافت پوست و نیز المان مخربی چون مو با گرادیان بالا ظاهر می شوند میانگین شدت پیکسل های با بیشترین گرادیان روشنایی محاسبه می شود. از آنجایی که در مرحله بخشندی اطلاعی از اندازه ضایعه در اختیار نیست، بهترین مقدار قابل انتخاب نیست و همواره از تقریب آن استفاده می گردد.

در مرحله آخر مرز استخراج شده بر روی تصویر اصلی قرار می گیرد تا تصویر اصلی به همراه مرز ضایعه برای تشخیص بهتر

بعد از اجرای مراحل فوق تصویر همانند تصویری است که از میان فیلتر پلاریزه عبور داده شده است. در اشکال شماره ۵ و ۶ تصویر ضایعه در شکل شماره ۱ بعد از اعمال فیلتر پلاریزه نشان داده شده است.

با مقایسه اشکال ۵ و ۶ با شکل شماره ۱ مشاهده می گردد که اشکال شماره ۵ و ۶ کنترast و شدت درخشنده گی بالاتری نسبت به شکل شماره ۱ دارند. همچنین در اشکال ۵ و ۶ زمینه تصویر نسبت به شکل شماره ۱ یکنواخت تر می باشد.

مرزبندی تصویر

برای مرزبندی تصویر از روش های معمول پردازش تصویر استفاده می گردد:

۱- ابتدا تصویر رنگی اخذ شده به حوزه شدت روشنایی برده می شود. با استفاده از این واقعیت که در تمام تصاویر درماتوسکوپی تغییر شدت روشنایی از ضایعه به زمینه و بر عکس دیده می شود، اصول مرزبندی پایه گذاری می شود. تغییرات از ضایعه به زمینه و از زمینه به ضایعه مهم است.

با اعمال پنجره یکنواخت کننده مقدار میانگین شدت روشنایی هر پیکسل با پیکسل های همسایه در آن پیکسل قرار می گیرد. تفاوت های شدت روشنایی موجود درون ضایعه و نیز زمینه کاهش می یابند. این



شکل ۵- مرزبندی ضایعه ملانوما با استفاده از فیلتر پلاریزه در جه



شکل ۶- تصویر ضایعه در شکل ۱ بعد از اعمال فیلتر پلاریزه در جه

تصویر، در یک زاویه خاص، نویز در تصویر به کمترین میزان خود می‌رسد که این مطلب، مرزبندی هر چه بهتر تصاویر ملانوما را ممکن می‌سازد.

در شکل شماره ۸ مرزبندی ضایعه ملانوما بدون استفاده از فیلتر پلاریزه و با الگوریتم‌های پردازش تصویر متداول نشان داده شده است. همانطور که پیش‌تر نشان داده شد شکل شماره ۷ مرزبندی ضایعه ملانوما با کمک فیلتر پلاریزه شبیه‌سازی شده با یک زاویه ۴۵ درجه را نشان می‌دهد. مقایسه دو شکل شماره ۸ و ۷ اثر فیلتر پلاریزه را در کاهش نویز تصویر نشان می‌دهد.

در شکل شماره ۸ در مرزبندی تصویر قسمت هایی که جزء ضایعه نبوده‌اند مرزبندی شده‌اند و نیز در داخل ضایعه مرزبندی‌های کوچکی انجام شده است که این‌گونه مرزبندی‌ها به عنوان عاملی نویزی برای تشخیص مرز دقیق ضایعه به حساب می‌آیند. در شکل شماره ۷ با اعمال فیلتر پلاریزه ۴۵ درجه این نویزها کاهش یافته‌اند و این موضوع نشان‌گر بهبود مرزبندی تصویر با کمک فیلتر پلاریزه است. در اشکال شماره ۹ و ۱۰ بترتیب مرزبندی با فیلترها پلاریزه صفر و ۹۰ درجه نشان داده شده است.

همانگونه که در شکل شماره ۹ مشخص است با استفاده از فیلتر پلاریزه صفر درجه کمترین مقدار تغییر در تصویر رخ داده است و عوامل نویزی به مقدار بسیار اندکی کاهش یافته‌اند.

در شکل شماره ۱۰ با استفاده از فیلتر پلاریزه ۹۰ درجه بیشترین مقدار تغییر در تصویر رخ داده است و عوامل نویزی به میزان قابل توجهی کاهش یافته‌اند اما عامل نامطلوب در مرزبندی ضایعه این است که قسمتی از ضایعه در خارج از مرز ضایعه قرار گرفته است.

با توجه به نتایج فوق اینطور استنباط می‌گردد که علی‌رغم ماکزیمم تغییرات تصویر به ازای فیلتر پلاریزه ۹۰ درجه، بهترین نتیجه که عوامل نامطلوب مؤثر در مرزبندی ضایعه را نیز حذف می‌نماید توسط فیلتر پلاریزه ۴۵ درجه بدست می‌آید. علت این امر این است که زاویه ۴۵ درجه در فیلتر پلاریزه معمولاً بهترین جواب برای مرزبندی تصاویر را می‌دهد، زیرا این فیلتر پلاریزه تا حدودی خواص فیلتر پلاریزه ۹۰ درجه و تا حدودی خواص فیلتر پلاریزه صفر درجه را دارد.



شکل ۷- تصویر مرز بندی شده با کمک فیلتر پلاریزه ۴۵ درجه

بیماری در اختیار پژوهش قرار گیرد. نتیجه نهایی این تحقیق در شکل شماره ۷ برای فیلتر پلاریزه ۴۵ درجه نشان داده شده است. در مقایسه شکل شماره ۷ با شکل شماره ۶ مشاهده می‌گردد که شکل شماره ۷ همان شکل شماره ۶ است و تنها مرز ضایعه به شکل شماره ۶ اضافه شده است. همان‌گونه که در شکل شماره ۷ مشاهده می‌گردد مرز ضایعه به گونه‌ای است که اصل ضایعه را در بر می‌گیرد و مقداری از التهاب دور ضایعه را در بر نمی‌گیرد.

مقایسه مرزبندی تصاویر درماتوسکوپی از ضایعه ملانوما با فیلتر پلاریزه و بدون آن

قانون ABCD مهمترین روش جهت آنالیز آسیب‌های رنگ دانه‌ای پوست است که در این روش پزشکان بر مبنای تقارن، لبه، رنگ و قطر ضایعه نوع آن را مشخص می‌نمایند. از این رو اگر روشی اتخاذ گردد که هر یک از خواص ABCD شفاف‌تر گردد تشخیص نوع ضایعه آسان‌تر می‌گردد. در این مقاله اثر فیلتر پلاریزه بر روی لبه بررسی شده است هر چند که ممکن است بر روی خواص دیگر نیز اثر داشته باشد. با استنتاج چشمی در مورد بهبود تصویر می‌توان دریافت که در این مورد نظر پزشکان مجبوب از اهمیت ویژه‌ای برخوردار است. با توجه به نظر پژوهش مختص پوست اطمینان حاصل گردید که با استفاده از فیلتر پلاریزه در برخی از تصاویر ضایعات پوستی بهبود قابل توجهی حاصل می‌گردد.

اولین مطلبی که در مرزبندی تصاویر درماتوسکوپی از ضایعه ملانوما حائز اهمیت است کم کردن نویز به هر روش ممکن است در روش‌های مرزبندی که با الگوریتم‌های پردازش تصویر در تحقیقات گذشته انجام شده است نویز به میزان قابل توجهی در تصاویر موجود بوده است که موجب گردید محققان در پی روشنی برای کم نمودن نویز در این تصاویر باشند. در این تحقیق نشان داده‌ایم که از جمله روش‌هایی که برای کم کردن میزان نویز در این تصاویر می‌تواند استفاده گردد اعمال فیلتر پلاریزه شبیه سازی شده بر روی تصاویر درماتوسکوپی می‌باشد. با اعمال زوایای مختلفی از فیلتر پلاریزه روی



شکل ۸- مرزبندی ضایعه ملانوما بدون استفاده از فیلتر پلاریزه

در شکل ۱۲ شماره پیش از اعمال الگوریتم مربندهای فیلتر پلاریزه شبیه سازی شده به تصویر اعمال گردیده است و سپس به مربندهای تصویر پرداخته شده است همان‌گونه که مشاهده می‌شود مربندهای ضایعه بطور کامل و پیوسته انجام شده است و نویز تصویر نزدیک به صفر است.

از مهمترین مزایای استفاده از فیلتر پلاریزه این است که حتی در تصاویر با نویز فراوان (از جمله تصاویر پوستی که مو در آن به عنوان نویز می‌باشد) مربندهای ضایعه با دقت بالا امکان پذیر است که این موضوع می‌تواند راه گشایی مسائلی باشد که نویز به عنوان پارامتری مزاحم در تصویر کار محقق را مختل می‌کند. به دلیل تیره بودن مو و نزدیکی کنتراست آن با ضایعه ممکن است برخی از موهای مانند ضایعه مربندهای می‌گردند که نتایج نامطلوب را به مراد خواهد داشت.

در شکل شماره ۱۳ استخراج مرز ضایعه ملانوما با وجود نویز زیاد با فیلتر پلاریزه شبیه سازی شده نشان داده شده است. در این شکل مقدار زیادی مو در تصویر به عنوان عامل مزاحم وجود دارد و نویز شکل و رنگ ضایعه در قسمت چپ با قسمت راست متفاوت است که این مطالب می‌تواند پیشک را در تشخیص نوع ضایعه دچار مشکل سازد اما با کمک فیلتر پلاریزه مربندهای ضایعه به طور نسبی با دقت خوبی انجام گرفته است و مربندهای ضایعه بطور کامل و پیوسته و نیز با کمترین مقدار نویز انجام گرفته است.



شکل ۱۱- مربندهای ضایعه ملانوما بدون استفاده از فیلتر پلاریزه



شکل ۱۲- تصویر مرز بندی شده با کمک فیلتر پلاریزه ۴۵ درجه



شکل ۹- مربندهای ضایعه ملانوما با استفاده از فیلتر پلاریزه صفر درجه



شکل ۱۰- مربندهای ضایعه ملانوما با استفاده از فیلتر پلاریزه ۹۰ درجه

می‌باشد. از این رو در شکل شماره ۶ برای مربندهای تصویر از فیلتر پلاریزه ۴۵ درجه استفاده شده است.

همچنین از ۴ شکل شماره ۷، ۸، ۹ و ۱۰ می‌توان نتیجه گرفت که در روش مربندهای با الگوریتم‌های متداول پردازش تصویر امکان اینکه برخی از مناطقی که جزء ضایعه نبوده‌اند مربندهای گردند وجود دارد که با اعمال فیلتر پلاریزه با زاویه مناسب می‌توان این نقیصه را بهبود بخشید.

با توجه به مطالب بالا معلوم گردید که بسته به نوع ضایعه، پیشک می‌تواند جهت دستیابی به بهترین نتیجه زاویه پلاریزاسیون دلخواه خود را انتخاب نماید. بسته به ماهیت تصویر و رفتار آن در برابر نور پلاریزه می‌توان بهترین زاویه پلاریزاسیون را انتخاب نمود. زاویه پلاریزاسیون ۴۵ درجه معمولاً موجب بهترین مربندهای در ضایعات پوستی می‌گردد. از این رو در تصاویر بعدی از فیلتر پلاریزه صفر درجه و ۹۰ درجه استفاده نمی‌شود.

در شکل شماره ۱۱ مربندهای ضایعه ملانوما بدون استفاده از فیلتر پلاریزه نشان داده شده است. در این تصویر مناطقی که جزء ضایعه بوده‌اند نشده‌اند و نیز در حالی که مناطقی از تصویر قسمتی از ضایعه بوده‌اند بصورت جدا از ضایعه مربندهای شده‌اند. این موضوع یک مشکل بزرگ در مربندهای با الگوریتم‌های متداول پردازش تصویر است.



شکل ۱۳- مرزبندی ضایعه با فیلتر پلاریزه ۴۵ درجه



شکل ۱۴- مرزبندی ضایعه بدون فیلتر پلاریزه

بازیابی و استخراج لبه در حوزه شدت روشنایی انجام می‌شود. در نهایت مرز، روی تصویر اصلی قرار می‌گیرد تا پژوهش ضایعه مورد نظر را بهتر و مناسب تر تشخیص دهد.

در شکل شماره ۱۴ مرزبندی تصویر با الگوریتم‌های متداول پردازش تصویر نشان داده شده است. در این شکل مرزبندی ضایعه با گستینگی انجام گرفته است. همچنین در این شکل به دلیل وجود مو و نزدیکی کنتراست مو با ضایعه برخی از موهای به عنوان ضایعه مرزبندی شده‌اند. این مطالب موجب شده است که در شکل شماره ۱۴ مرزبندی نامطلوبی از ضایعه ملانوما مشاهده گردد. با توجه به مطالبی که در این بخش گفته شد به وضوح تأثیر فیلتر پلاریزه و زاویه آن در بهبود تصاویر و مرزبندی آن‌ها مشخص می‌گردد.

بحث و نتیجه گیری

شبیه‌سازی فیلتر پلاریزه و اعمال آن بر روی تصاویر پوستی از جمله جدیدترین و مؤثرترین تکنیک‌های پردازشی است که موجب وضوح مناسب تصاویر ملانوما می‌گردد و تشخیص نوع ملانوما را آسان‌تر می‌نماید. با کمک این تکنیک مرزبندی دقیق‌تری از ضایعات ملانوما انجام می‌پذیرد. در آنالیز ضایعات پوستی و تشخیص نوع آن، تفکیک دقیق ضایعه از زمینه از اهمیت ویژه‌ای برخوردار است. در این مقاله با کمک فیلتر پلاریزه و روش‌های معمول پردازش تصویر به مرزبندی دقیق‌تری از تصاویر پرداخته شده است و تا حد ممکن اثر عواملی مانند مو که به عنوان عوامل مزاحم از آن یاد می‌گردد کاهش یافته است. در این مقاله با مقایسه مرزبندی با و بدون فیلتر پلاریزه، ارزش استفاده از فیلتر پلاریزه در تصاویر پوستی آشکار گردید.

در این مقاله نشان داده شد که پس از اخذ تصویر توسط درماتوسکوپ فیلتر پلاریزه شبیه‌سازی شده با زوایای مختلف بر روی تصویر اعمال گردید تا بهترین تصویر حاصل شود. پس از آن تصویر، مورد پردازش اولیه قرار می‌گیرد و پس از چند پیش پردازش دیگر

منابع

1. Dancey AL, Mahon BS, Rayatt SS. A review of diagnostic imaging in melanoma. *J Plast Reconstr Aesthet Surg* 2008; 61: 1275-83.
2. <http://en.wikipedia.org/wiki/dermatoscopy>
3. Kokemohr N. Digital polarization filter. Patent Application Publication 2007; ppl.no.10/250,438.
4. Pompl R, Bunk W, Horsch A, Abmayer W, Morfill G, Brauer W, Stolz W. Computer vision of melanocytic lesions using MELDOQ in proc. 6th Congress Int. Soc. Skin Imaging, London 1999; Skin Research and Technology, 5:150.
5. Green A, Martin N, Pfitzer J, Quintarelli F, ourke M, Knight N. Computer image analysis in the diagnosis of melanoma. *J Am Acad Dermatol* 1994; 31(6): 958-964.
6. Antonio AT, Chuh Zawar V. Demonstration of residual perifollicular pigmentation in localized vitiligo a reverse and novel application of digital epiluminescence dermoscopy. Elsevier Ltd 2004; 28.
7. Glen EM. Filters can make all the difference 2003. www.thelightsofrightstudio.com
8. <http://tray.dermatology.uiowa.edu/ImageBase.htm>
9. http://www.aocd.org/skin/dermatologic_diseases/melanoma.html
10. Benvenuto-Andrade C, Dusza W, Agero C, Scope A, Rajadhyaksha M, Halpern C, Marghoob A. Differences between polarized light Dermoscopy and Immersion contact dermoscopy for the evalution of skin lesions. *Arch Dermatol* 2007; 143: 329-38.
11. Pehamberger H, Steiner A, Wolff K .In vivo epiluminescence microscopy of pigmented skin

- lesions. I.Pattern analysis of pigmented skin lesions. J Am Acad Dermatol 1987; 17(4): 571-83.
12. Nachbar F, Stolz W, Merkle T, Cognetta A, Vogt T, Landthaler M, Bilek P, Braun-Falco O, Plewig G. The ABCD rule of dermatoscopy: High prospective value in the diagnosis of doubtful melanocytic skin lesions. J Am Acad Dermatol 1994; 30(4): 551-9.
13. Ambaugh S.E, Moss R.H, Stoecker W.V, Hance G.A. Automatic color segmentation Algorithms: With application to skin tumor feature identification. IEEE Eng Med Biol Mag 1993; 12(3): 75-82.
14. Gonzalez R.C, Woods R.E. Digital Image Processing.